

بررسی تغییر شکل وابسته به زمان در ماسه‌های خشک*

مقاله پژوهشی

مسعود نصیری^(۱) محمد حاجی عزیزی^(۲) احمد رضا مظاهری^(۳) پنکاسم جانپرادیس^(۴)

چکیده رفتار ماسه‌ها وابسته به زمان است و می‌تواند پایداری بسیاری از پروژه‌های ژئوتکنیکی را تحت تأثیر خود قرار دهد. در این پژوهش از ۹ مدل ماسه با شکل و اندازه‌ی ذرات مختلف و دانه‌بندی متفاوت به منظور بررسی رفتار وابسته به زمان ماسه‌ها در بازه‌های زمانی ۲، ۷ و ۳۰ روزه و تحت بارگذاری‌های مختلف استفاده شده است. نمونه‌ها با تراکم ۶۰ درصد، به مدت ۳۰ روز تحت تنش ۴۵ کیلوپاسکال و در بازه‌های ۷ روزه تحت تنش‌های ۲۶ تا ۴۱۶ کیلوپاسکال (با گام‌های افزایشی دو برابر) تحت آزمایش ادئومتر در حالت خشک قرار گرفتند. نتایج نشان داد که چرخش، لغزش و خردشدگی دانه‌های ماسه روی هم در بازه‌های زمانی آزمایش شده تحت بارهای ثابت، عامل ایجاد تغییر شکل‌های خزشی در نمونه‌ها بوده است. نمونه‌های ماسه‌ای بین ۱/۵ تا ۴/۲ درصد کرنش خزشی در بازه‌ی زمانی ۳۰ روزه و بین ۰/۶۱ تا ۲/۵ درصد کرنش خزشی در بازه‌های زمانی ۷ روزه از خود نشان دادند. هم‌چنین روابط خطی به منظور پیش‌بینی تغییر شکل وابسته به زمان ماسه‌ها پیشنهاد شد. نتایج به دست آمده تطابق خوبی با مطالعات قبلی داشتند.

واژه‌های کلیدی ماسه‌ی خشک، آزمایش ادئومتری، رفتار وابسته به زمان، اندازه‌ی ذرات.

Study of Time-Dependent Deformations in Dry Sands

M. Nasiri M. Hajiazizi A. R. Mazaheri P. Jongpradist

Abstract The time-dependent behavior of sands is one of the main issues that can influence many projects. In this study nine sand models with different particles shape and sizes and different grain distribution have been used to investigate creep behavior. The samples were prepared at 60% relative density and the constant stresses of 45 kPa for 30 days and 26 to 416 kPa for seven days (with the double increase in stress increment) under dry conditions in the Oedometer apparatus (one-dimensional consolidation) were tested. The results showed that the rotation, slipping, and crushing of the sand grains over time under constant load was the cause of creep deformation in the dry samples. Sand samples exhibit 1.5 to 4.2% creep strains in 30 days, and 0.61 to 2.5% creep strains in seven days' time interval. Finally, two linear equations are presented to predict the deformation of sands over time. The results were in good agreement with previous studies.

Key Word Dry Sand, Creep, Oedometer Test, Time-Dependent Behavior, Particle size.

* تاریخ دریافت مقاله ۱۳۹۹/۸/۸ و تاریخ پذیرش آن ۱۴۰۰/۲/۱۸ می‌باشد.

(۱) دانشجوی دکتری مهندسی عمران - ژئوتکنیک، دانشکده فنی مهندسی، دانشگاه رازی، کرمانشاه، ایران.

(۲) نویسنده مسئول: دانشیار مهندسی عمران، دانشکده فنی مهندسی، دانشگاه رازی، کرمانشاه، ایران. Email: mhazizi@razi.ac.ir

(۳) استادیار مهندسی عمران، دانشکده فنی مهندسی، دانشگاه آیت الله بروجردی، بروجرد، ایران.

(۴) دانشیار مهندسی عمران، دانشگاه صنعتی کینگ مونگ کوت، تونپوری، تایلند.

مقدمه

خواهد کرد. این پژوهشگران پس از انجام آزمایش، نمونه‌ی خاک را به کمک الک مجدداً دانه‌بندی کردند که نتایج نشان داد حدود ۲۰٪ ذرات از الک شماره‌ی ۲۰۰ عبور می‌کنند، درحالی‌که پیش از انجام آزمایش هیچ ذره‌ای دارای قطر کوچک‌تر از ۷۵ میکرون نبوده‌است که نشان از لغزش و خردشدگی ذرات حین خزش داشته‌باشد. ماهیت پیچیده‌ی رفتار خزشی از آنجا مشخص می‌شود که نتایج بسیاری از آزمایش‌های سه‌محوری نشان داده‌است که با افزایش تنش انحرافی، نرخ کرنش انحرافی خاک هم بیشتر می‌شود، درحالی‌که برخی پژوهش‌ها [6] نشان دادند که نرخ کرنش کاهش می‌یابد. این تفاوت رفتار به علت تفاوت در کرنش‌های خاک است. پژوهش‌های ونگ و همکاران [7] نشان داد که خردشدن ذرات عامل اصلی خزش در ماسه‌هاست. این خردشدگی در اثر اعمال تنش‌های فشاری رخ خواهد داد. به‌طور کلی دو عامل اصلی برای خزش ماسه‌ها تعریف می‌شود، یکی خردشدگی و شکست ذرات به علت تنش‌های تماسی بین دانه‌ای و دیگر، بازآرایش ذرات با گذشت زمان به علت لغزش ریزمکانیکی (Micromechanical). تغییر شکل‌های خزشی با افزایش تنش اعمالی بیشتر می‌شوند که علت آن می‌تواند خردشدگی بیشتر ذرات ماسه باشد. باین‌حال، ذرات خردشده رفته‌رفته پایدارتر خواهند شد و به‌همین دلیل تغییر شکل‌های دراز مدت، کمتر خواهند شد. نیان و همکاران [8] به کمک آزمایش برش مستقیم فرایند خزش ماسه‌ها را بررسی کردند. نتایج آنان نشان داد که در تنش برشی پایین، نسبت تخلخل خاک زیاد است و نقاط تماس‌های داخلی ذرات خاک کم است، در نتیجه پدیده‌ی خزش در چنین تنش‌هایی قابل مشاهده نیست. در تراکم نسبی پایین و میزان تنشی که به اندازه‌ی کافی زیاد باشد تا توانایی خرد کردن ذرات ماسه را داشته باشد، مقدار خزش قابل توجهی مشاهده می‌شود [9].

بین و همکاران [10] با آزمایش ادئومتر و برش سه‌محوری به بررسی وضعیت پسماند ماسه‌ی ریخته‌گری

اعمال بار به خاک منجر به ایجاد تغییر شکل در توده‌ی خاک می‌شود. تغییر شکل‌ها بلافاصله پس از اعمال بار پایان نمی‌یابند، بلکه با گذشت زمان و به تدریج افزایش خواهند یافت که به این پدیده خزش در خاک گفته می‌شود. به عبارت دیگر، خزش یعنی تغییر شکل خاک در تنش ثابت و با گذشت زمان [1]. تمامی خاک‌ها دچار خزش می‌شوند، اما مقدار خزش به نوع خاک، دمای محیط، مدت زمان و شکل ذرات بستگی دارد. رس نرم تغییر شکل‌های وابسته به زمان بیشتری را در چند دقیقه یا چند ساعت از خود نشان می‌دهد، درحالی‌که برای ماسه‌ها ممکن است چندین روز طول بکشد تا تغییر شکل‌های خزشی از خود نشان دهند [2]. همین موضوع یکی از عللی است که تاکنون بیشتر تحقیقات انجام‌شده به بررسی رفتار خزشی رس‌ها معطوف بوده‌است و پژوهش‌های کمتری رفتار خزشی ماسه‌ها را مورد مطالعه قرار داده‌اند. عمده‌ی پژوهش‌های انجام‌شده در زمینه‌ی خزش ماسه‌ها به کمک آزمایش‌های سه‌محوری و ادئومتر بوده‌است. ماسه‌ی اشباع، تغییر شکل خزشی قابل توجهی را از خود نشان می‌دهد و کرنش خزشی می‌تواند بین ۷ تا ۲۲ درصد افزایش یابد [2]. موریایاما و همکاران [3] در آزمایش سه‌محوری زهکشی‌شده نشان دادند که زمان گسیختگی ناشی از خزش در ماسه‌ها، با محاسبه‌ی مقدار نرخ کرنش خزشی قابل پیش‌بینی است. براساس تعریف موریایاما [4] مقاومت گسیختگی عبارت است از تنش بحرانی که کمتر از آن هیچ گسیختگی خزشی رخ ندهد. این مقاومت از بسیج ذرات در ماسه‌ها و رس‌ها به وجود می‌آید. لاد و لیو [5] به کمک آزمایش سه‌محوری رفتار خزشی ماسه‌ها را بررسی کردند. آنان در پژوهش خود تنش همه‌جانبه، بار محوری و دما را ثابت نگه داشتند و تغییر شکل‌های محوری و حجمی را اندازه‌گیری کردند. نتایج نشان داد که طبیعت کرنش‌های خزشی مشابه کرنش‌های پلاستیک است. میزان خزش با فشار محصورکننده، به‌ویژه در تنش‌های بالا، افزایش پیدا

ماسه با گذشت زمان احساس می‌شود که در این پژوهش تغییر شکل‌های وابسته به زمان مورد بررسی قرار خواهد گرفت.

بررسی رفتار وابسته به زمان ماسه‌ها از جمله موضوعات مهم در مهندسی ژئوتکنیک است که علی‌رغم تحقیقات مختلف انجام شده، نیاز به پیش‌بینی تغییر شکل‌های محوری با گذشت زمان در خاک‌های ماسه‌ای خشک احساس می‌شود. در پژوهش حاضر، رفتار خزشی ماسه‌های خشک تحت یک تنش ثابت و به مدت ۳۰ روز و همچنین بازه‌ای از تنش‌ها (۲۶ تا ۴۱۶ کیلوپاسکال) به مدت ۷ روز در آزمایش ادنومتر مورد ارزیابی و بررسی قرار گرفته‌است. پژوهش‌های پیشین به کمک آزمایش ادنومتر اغلب رفتار خزشی ماسه‌ها را در گام‌های بارگذاری افزایشی مورد بررسی قرار داده‌اند در حالی که تحقیق حاضر رفتار خزشی ماسه‌ها را در یک تنش ثابت طولانی (۳۰ روزه) و علاوه بر آن، چندین تنش در بازه‌های زمانی ۷ روزه، مورد مطالعه قرار داده‌است تا با وضعیت بارگذاری واقعی، سازگاری بیشتری داشته باشد. نتایج به دست آمده از این مطالعه نشان می‌دهد که توجه به کرنش‌های خزشی و رفتار زمان‌مند ماسه‌ها از اهمیت ویژه‌ای برخوردار است به طوری که می‌تواند پایداری پروژه‌های ژئوتکنیکی را تحت تأثیر قرار دهد. در پایان، روابط خطی ساده و با دقت کافی برای تخمین تغییر شکل‌های وابسته به زمان برای این ماسه‌ها پیشنهاد شده‌است.

مصالح و روش آزمایش

در این پژوهش از ۹ مدل ماسه‌ی مختلف با شکل ذرات و اندازه‌ی دانه‌های متفاوت و هم‌چنین دانه‌بندی گوناگون به منظور بررسی رفتار وابسته به زمان ماسه‌های خشک تحت تنش ثابت، استفاده شده‌است (جدول ۱). این ماسه‌ها عبارتند از ماسه‌های اتاوا (Ottawa Sand)، بابلسر (Babolsar Sand)، بوشهر (Bushehr Sand)، فیرزکوه شماره‌ی ۱۶۱ و ۱۷۱ (Firoozkooh Sand) و ماسه‌های

پرداختند. نتایج تحقیقات آنان نشان داد که این نوع ماسه هم مانند ماسه‌های طبیعی از خود تراکم ثانویه نشان می‌دهد. نتایج تحقیقات پارک و همکاران [11] نشان داد که رفتار خزشی ماسه‌ها به نسبت تنش و تراکم نسبی اولیه‌ی توده‌ی خاک بستگی دارد. پژوهش‌های یانگ و همکاران [12] نشان داد که خصوصیات خزشی ماسه متأثر از تراز تنش است. تحقیقات برخی از محققان [13] نشان داد که نمونه‌های ماسه‌ای مرطوب، کرنش‌های خزشی بیشتری نسبت به نمونه‌های خشک از خود نشان می‌دهند. پارک و همکاران [14] نشان دادند که رفتار خزشی حجمی انقباضی یا اتساعی با ترکیب ویژه‌ای از نسبت تخلخل و تنش مؤثر متوسط قائم در ابتدای فرایند خزش تعیین می‌شود. نگهدار و همکاران [۱۵] نشان دادند که در آزمایش بارگذاری- باربرداری، زمان لازم برای رسیدن به یک تخلخل مشخص طی خزش، کمتر از آزمایش تک‌مرحله‌ای می‌باشد و این فرایند باعث تسریع در فرایند خزش می‌شود.

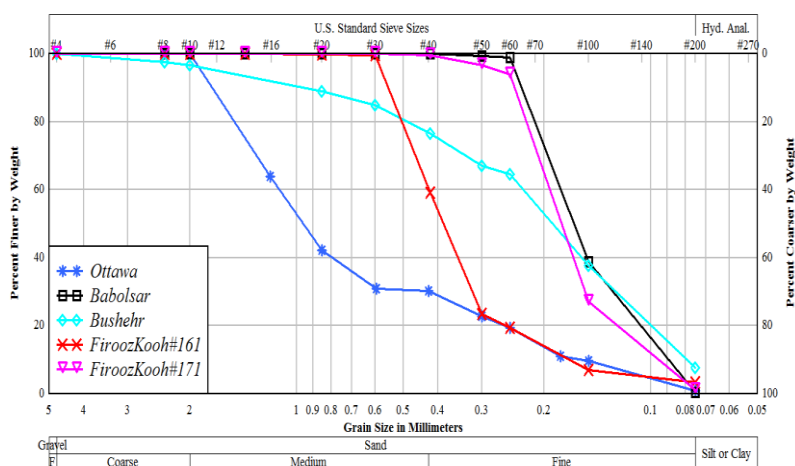
تاکنون پژوهش‌های متعددی به منظور بررسی رفتار خزشی ماسه‌ها انجام شده‌است که از جمله‌ی آنها می‌توان به آزمایش‌های سه‌محوری [16-22] برش مستقیم [8] و ادنومتر [1,10] و هم‌چنین مدل‌سازی‌های عددی [23,24] اشاره کرد. طبق تعریف تاناکا و تانیماتو [25] سازوکار خزش، جابه‌جایی ذرات ماسه است. وقتی ماسه تحت تنش قرار می‌گیرد، ذرات حرکت می‌کنند. نرخ جابه‌جایی در ابتدا زیاد و با گذشت زمان رفته‌رفته کاهش می‌یابد. مجیا و همکاران [26] روی دو نمونه‌ی ماسه‌ی سست آزمایش ادنومتر با تنش‌های قائم مؤثر مختلف انجام دادند. یافته‌های آنان نشان داد که کرنش‌های خزشی وابسته به زمان مشاهده شده در این آزمایش‌ها به علت لغزش و چرخش دانه‌ها بوده‌است و نه به علت خردشدگی ذرات (چرا که تراز تنش‌های اعمالی به نمونه‌ها نسبتاً پایین بوده‌است). مک دوول [27] سازوکار خزش ماسه را با لغزش بین ذرات و ترک خوردگی‌شان شرح داد. در این بین، جای خالی پیش‌بینی تغییر شکل

نیز عبوری از الک شماره‌ی ۱۰ و مانده روی الک شماره‌ی ۶۰ هستند. لازم به ذکر است که ماسه‌های KRSS#1 و KRSS#3 از یک جنس‌اند و ماسه‌های شماره‌ی KRSS#2 و KRSS#4 نیز از یک قرصه تهیه شده‌اند و تفاوت آنها در نوع دانه‌بندی‌شان است. هدف از این کار، تفکیک ماسه‌های یکسان به دو دسته‌ی درشت و ریز با شکل دانه‌های مختلف بوده‌است.

محلی شهر کرمانشاه (KRSS). منحنی دانه‌بندی ماسه‌ها در شکل (۱) نشان داده شده‌است. لازم به ذکر است که چهار نوع ماسه‌ای که در این منحنی نمایش داده نشدند عبارتند از (KRSS#1, KRSS#2, KRSS#3, KRSS#4). همگی این چهار ماسه دارای دانه‌بندی یکنواخت و مشخصی بودند، به طوری که ماسه‌های KRSS#1 و KRSS#2 عبوری از الک شماره‌ی ۴ و مانده روی الک شماره‌ی ۱۰ هستند و ماسه‌های KRSS#3 و KRSS#4

جدول ۱ مشخصات ماسه‌های استفاده شده

نوع خاک	ضریب یکنواختی	ضریب انحراف	D ₅₀	نام خاک (روش متحد)	چگالی ویژه	تخلخل پیشینه	تخلخل کمینه	شکل ذرات [۲۸]
Ottawa Sand	۷/۲۳۱	۰/۹۹۰	۰/۹۷۱	SP	۲/۶۶۰	۰/۵۶۹	۰/۳۵۲	نیمه گرد گوشه
Babolsar Sand	۱/۹۳۵	۱/۰۱۰	۰/۱۶۹	SP	۲/۸۲۹	۰/۷۷۸	۰/۵۰۵	گرد گوشه
Bushehr Sand	۲/۸۷۶	۰/۹۰۹	۰/۱۹۷	SP	۲/۶۹۶	۰/۵۹۵	۰/۳۵۹	نیمه تیز گوشه
FiroozKooh#161 Sand	۲/۰۶۵	۱/۰۷۲	۰/۲۳۰	SP	۲/۶۴۴	۰/۸۳۳	۰/۵۳۸	گرد گوشه
FiroozKooh#171 Sand	۱/۹۹۰	۱/۱۹۲	۰/۱۸۴	SP	۲/۵۹۲	۰/۸۲۵	۰/۵۱۷	گرد گوشه
KRSS#1	-	-	-	SP	۲/۷۲۰	۰/۷۵۶	۰/۵۳۸	نیمه گرد گوشه
KRSS#2	-	-	-	SP	۲/۷۴۷	۰/۸۸۹	۰/۵۹۰	نیمه تیز گوشه
KRSS#3	-	-	-	SP	۲/۶۱۴	۰/۶۶۹	۰/۴۴۶	نیمه گرد گوشه
KRSS#4	-	-	-	SP	۲/۷۱۱	۰/۸۶۵	۰/۵۸۱	نیمه تیز گوشه



شکل ۱ منحنی دانه‌بندی ماسه‌های مورد استفاده

عدد به شرایط بسترهای طبیعی بوده است. این موضوع توسط محققان دیگر نیز بیان شده است و آنان نیز از این تراکم نسبی در پژوهش خود استفاده کرده‌اند [31-28]. در جدول (۲) مشخصات نمونه‌های ساخته شده در آزمایش ادئومتر نشان داده شده است. هر مدل ماسه‌ی خشک به مدت ۳۰ روز تحت تنش ثابت ۴۵ کیلوپاسکال قرار گرفت تا رفتار زمان‌مند آن مورد ارزیابی قرار گیرد. علت انتخاب این سربار آن است که فرایند وقوع خزش در زمان ۳۰ روز با شفافیت بیشتری قابل ارزیابی است. در واقع رفتار ذرات ماسه که در تماس با یکدیگرند، بررسی شده است. به همین دلیل ماسه‌ی خشک به عنوان هدف اصلی انتخاب شده است تا واکنش طولانی مدت ذرات ماسه تحت تنش ثابت براساس شکل، اندازه و دانه‌بندی‌شان مورد بررسی قرار گیرد به طوری که روابط پیشنهادی، صرفاً به شکل ذرات و تنش اعمالی وابسته باشد.

جدول ۲ مشخصات ماسه‌ها در آزمایش ادئومتر

وزن نمونه (gf)	پوکی	نسبت تخلخل	تراکم نسبی	نوع خاک
۱۶۰/۲۵	۰/۳۰۵	۰/۴۳۸۸	٪۶۰	Ottawa Sand
۱۵۱/۹۳	۰/۳۸۰	۰/۶۱۴۰	٪۶۰	Babolsar Sand
۱۶۰/۸۰	۰/۳۱۲	۰/۴۵۳۴	٪۶۰	Bushehr Sand
۱۳۵/۱۱	۰/۴۱۰	۰/۶۹۵۰	٪۶۰	FiroozKooch#161 Sand
۱۳۷/۰۰	۰/۳۹۰	۰/۶۴۰۲	٪۶۰	FiroozKooch#171 Sand
۱۴۵/۰۷	۰/۳۸۵	۰/۶۲۵۲	٪۶۰	KRSS#1
۱۳۸/۹۸	۰/۴۱۵	۰/۷۰۹۶	٪۶۰	KRSS#2
۱۴۷/۵۹	۰/۳۴۹	۰/۵۳۵۲	٪۶۰	KRSS#3
۱۴۰/۵۱	۰/۴۱۰	۰/۶۹۴۶	٪۶۰	KRSS#4

آزمایش‌های ادئومتری آزمایش‌های ۲ روزه

فرایند آزمایش همانند آزمایش تحکیم است، با این تفاوت که نمونه‌ها به صورت بازسازی شده ساخته می‌شوند و مطالعات در شرایط خشک انجام می‌شود. در

در شکل (۲) دستگاه ادئومتری نشان داده شده است. همگی نمونه‌ها به صورت بازسازی شده در حلقه‌ی تحکیم به قطر ۷ سانتی‌متر و ارتفاع ۲ سانتی‌متر ساخته شدند و پس از اعمال تنش، در بازه‌های زمانی مشخص مورد ارزیابی خزش قرار گرفتند. در ابتدا آزمایش‌های کلاسیک ادئومتری، با گام‌های افزایش تنش در بازه‌ی زمانی ۴۸ ساعت، روی ماسه‌ی اتاوا در نسبت تخلخل‌های کمینه، بیشینه و نسبت تخلخل معادل با تراکم ٪۶۰ انجام شد. هر نمونه به مدت ۴۸ ساعت تحت هر تنش قرار می‌گرفت و سپس گام بعدی تنش به آن اعمال می‌شد، به طوری که هر نمونه تحت ۶ تنش متفاوت (با گام افزایش ۲ برابر) در مجموع ۱۲ روز تحت آزمایش بوده است. هم‌چنین در بخشی دیگر، افزایش تنش در بازه‌های زمانی ۷ روزه (با گام‌های افزایشی دو برابر و مجموعاً ۳۵ روز) نیز مورد بررسی قرار گرفت. هدف آن است تا مناسب‌ترین تنش برای بررسی رفتار خزش ماسه‌ها در زمان ۳۰ روز به دست آید.



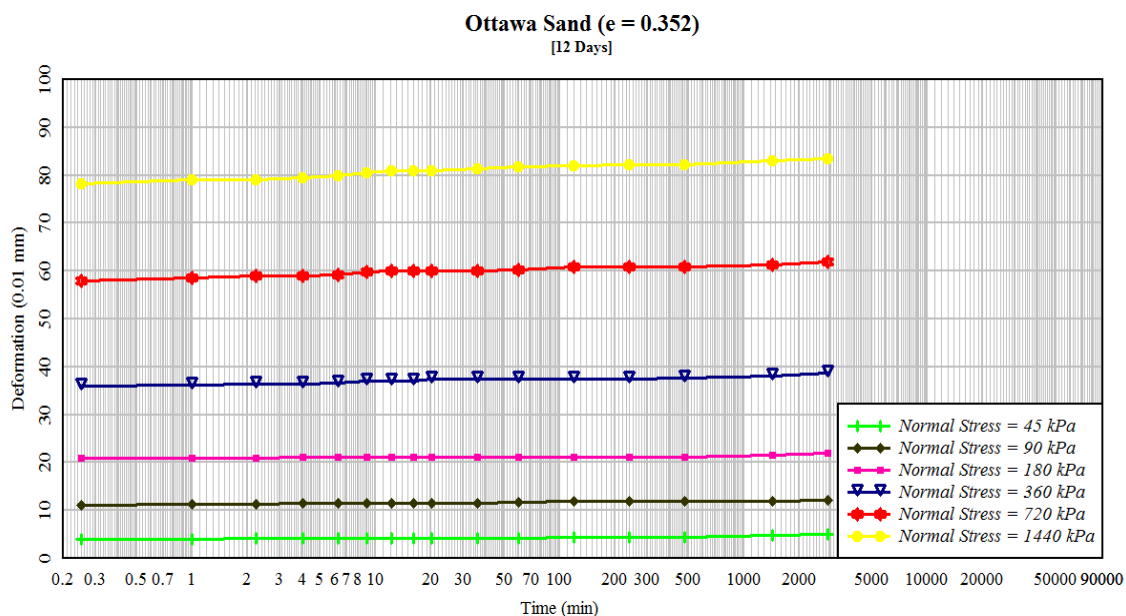
شکل ۲ دستگاه ادئومتر

در گام بعدی، به منظور مقایسه‌ی عملکرد ماسه‌ها در تراکم نسبی متوسط، از تراکم ۶۰ درصد برای نمونه‌ها استفاده شده است. علت انتخاب این مقدار، نزدیکی این

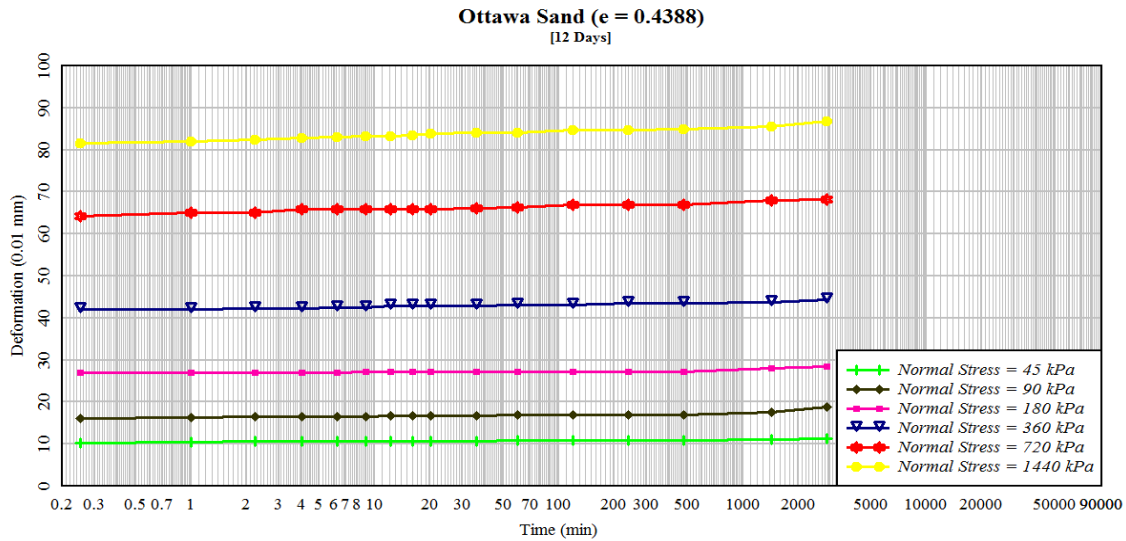
در آزمایش ادنومترى مورد ازیابی قرار گرفتند. شکل‌های (۳) تا (۵) نتایج آزمایش‌ها روی نمونه‌های ماسه‌ی اتاوا را با نسبت تخلخل ۰/۳۵۲، ۰/۴۳۸۸ و ۰/۵۶۹ نشان می‌دهد.

همان‌طور که انتظار می‌رود، با افزایش نسبت تخلخل، میزان تغییرشکل‌های وابسته به زمان نیز بیشتر می‌شود که ۰/۸۳۵ میلی‌متر برای نمونه‌ی با نسبت تخلخل کمینه، ۰/۸۶۸ میلی‌متر برای نمونه‌ی با نسبت تخلخل معادل تراکم ۶۰٪ و ۰/۹۸۲ میلی‌متر برای نمونه‌ی با نسبت تخلخل بیشینه در انتهای آزمایش است. همان‌طور که در شکل‌های (۲) تا (۵) مشخص است، کمترین تنش سربار اعمال‌شده به نمونه‌ها (۴۵ کیلوپاسکال) رفتاری نزدیک به معادله‌ی خط دارد. بدین معنی که کمترین میزان تغییر شکل در مدت زمان ۴۸ ساعت برای این تنش مشاهده شده‌است. بر همین اساس این تنش به‌عنوان تنش ثابت در فرایند آزمایش‌های خزش ۳۰ روز انتخاب شد.

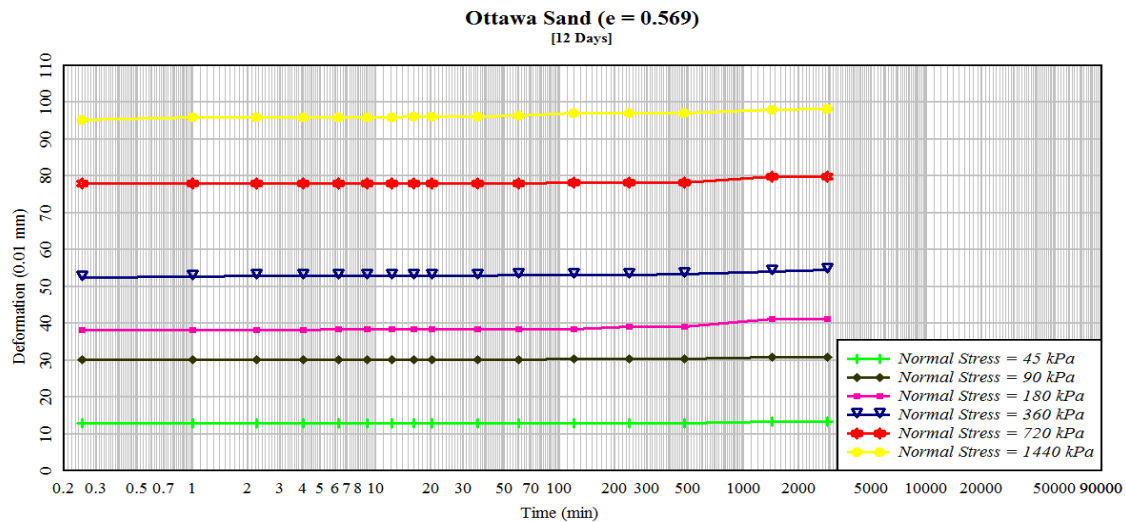
ابتدا قسمت‌های داخلی حلقه‌ی تحکیم به‌خوبی به‌گریس آغشته می‌شود تا اصطکاک دانه‌های ماسه با جداری حلقه به حداقل ممکن برسد و سپس براساس جدول (۲) هر نمونه به‌روش بارش خشک ساخته شد. نحوه‌ی ساخت نمونه‌ها بدین صورت بوده‌است که ماسه از درون یک قیف و بدون ارتفاع سقوط به داخل قالب تحکیم ریخته شد و به‌آرامی و بدون ارتعاش، قیف در راستای قائم بالا آورده شد تا تمامی ماسه داخل قالب را پر کند [32]. در مرحله‌ی اول نمونه‌های ماسه‌ی اتاوا در سه نسبت تخلخل اولیه (نسبت تخلخل کمینه، بیشینه و معادل تراکم ۶۰٪) مورد آزمایش قرار گرفتند تا مناسب‌ترین تنش سربار برای آزمایش‌های ۳۰ روزه‌ی خزش تعیین شود. در ابتدا، نمونه تحت تنش ۴۵ کیلوپاسکال و به‌مدت ۴۸ ساعت قرار می‌گرفت و در انتهای زمان، گام بعدی تنش (دو برابر حالت قبل) به نمونه اعمال می‌شد. هر نمونه ۱۲ روز مورد آزمایش قرار گرفت. سه نسبت تخلخل انتخاب‌شده مجموعاً ۳۶ روز



شکل ۳ نمودار تغییرشکل در برابر لگاریتم زمان برای ماسه اتاوا با نسبت تخلخل کمینه



شکل ۴ نمودار تغییر شکل در برابر لگاریتم زمان برای ماسه اتاوا با نسبت تخلخل معادل تراکم ۶۰٪



شکل ۵ نمودار تغییر شکل در برابر لگاریتم زمان برای ماسه اتاوا با نسبت تخلخل بیشینه

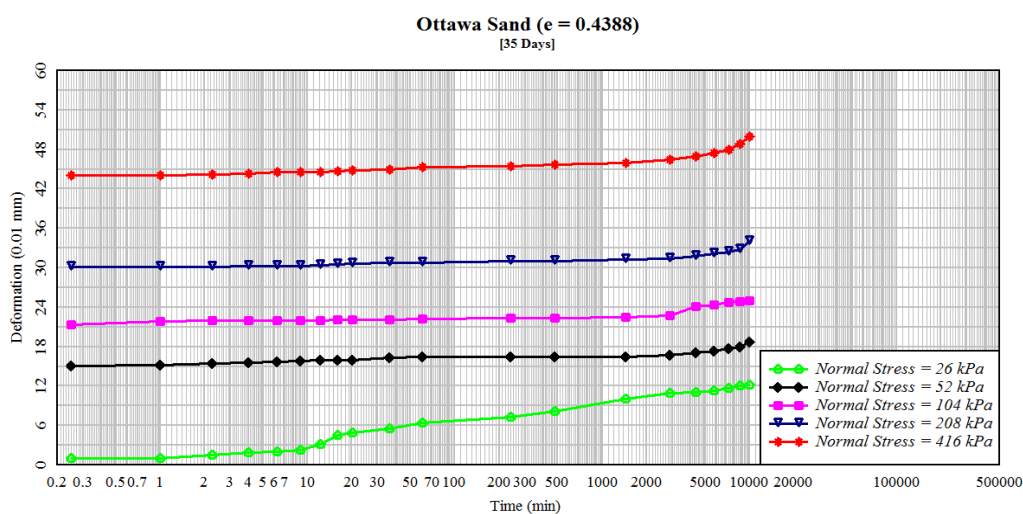
آزمایش‌های ۷ روزه

ثابت نگه داشته شده‌است و سپس گام بعدی اعمال بار انجام پذیرفته‌است. نمونه‌ی ماسه اتاوا با تراکم ۶۰٪ و جمعا ۳۵ روز تحت بارگذاری (۵ مرحله‌ی ۷ روزه) قرار گرفته‌است. گام‌های اعمال بار در هر مرحله دو برابر قبل بوده‌است. در شکل (۶) نمودار این آزمایش‌ها نشان داده شده‌است. همان‌طور که در شکل (۶) مشاهده می‌گردد، در زمان شروع اعمال بار، جهش در نمودار مشهودتر است، هرچند که مقدار نمودار از صفر به دوازده صدم میلی‌متر رسیده‌است. رفته‌رفته با افزایش تنش سربار در

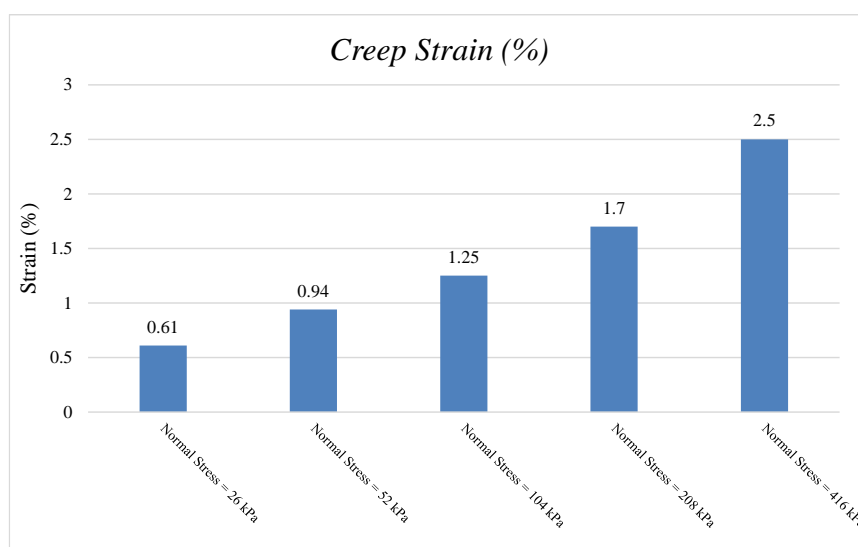
در این بخش یک‌سری آزمایش‌های تکمیلی به‌منظور درک بهتر رفتار ماسه‌ی اتاوا در حالت خشک در بارگذاری‌های مختلف و در بازه‌های زمانی متفاوت انجام گرفت که در ادامه به تشریح آنها پرداخته می‌شود. به‌منظور درک بهتر رفتار در شرایط آزمایش‌های ۳۰ روز (بند ۳-۳)، تمامی آزمایش‌ها در این قسمت در شرایط تراکم ۶۰٪ انجام شده‌اند. در این سری از آزمایش‌ها هر گام بارگذاری روی ماسه‌ی اتاوا در مدت زمان ۷ روز

بارگذاری خزشی و مقدار تنش سربار اعمالی بر روی نمونه‌ها بوده‌است. در شکل (۷) نمودار کرنش‌های خزشی ایجاد شده در انتهای بازه‌های زمانی ۷ روزه برای ماسه‌ی اتاوا نشان داده شده‌است. همان‌طور که مشخص است، کرنش‌های خزشی یک رفتار افزایشی مشابه در این بازه‌ی زمانی را از خود نشان می‌دهند. این موضوع نشان‌دهنده‌ی اهمیت نقش زمان، علاوه بر میزان تنش اعمال شده به خاک است.

انتهای ۷ روز، سیر صعودی در انتهای یک روز تقریباً نرخ ثابتی دارد. در حالی که از انتهای ۲۴ ساعت تا پایان هفت روز، میزان افزایش تغییر مکان‌ها چشمگیرتر خواهد بود. قابل توجه است که نمودار با تنش سربار قائم ۴۱۶ کیلوپاسکال در این بازه‌ی ۷ روزه بیشتر دست‌خوش تغییرات خواهد شد، که همین نشان‌دهنده‌ی اهمیت توجه به زمان و خزش در ماسه‌های خشک است. اطلاعات حاصل از این بخش و بند پیشین (بند ۳-۱)، ملاک انتخاب نسبت تخلخل، میزان تراکم نسبی، زمان



شکل ۶ نمودار تغییر شکل در برابر لگاریتم زمان برای ماسه اتاوا در تراکم ۶۰٪ در تنش‌های متفاوت و در گام‌های زمانی ۷ روز



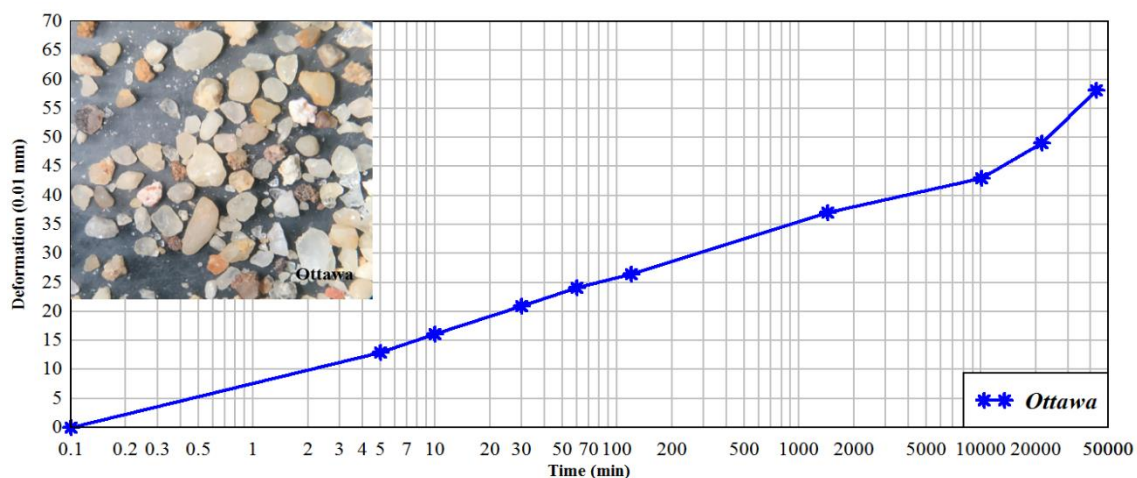
شکل ۷ نمودار کرنش خزشی برای نمونه‌ها در انتهای آزمایش‌های ۷ روزه

آزمایش‌های ۳۰ روزه

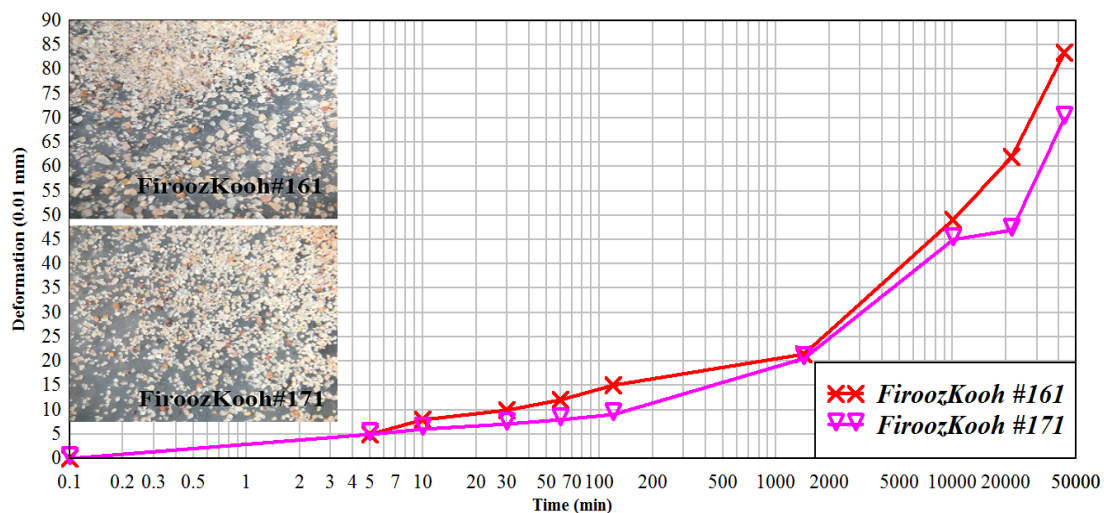
پیوسته است. لازم به ذکر است این دو ماسه عینا شرایط یکسانی دارند و تفاوت تنها در اندازه‌ی ذراتشان است. علت شیب تند تغییر شکل ماسه‌ی بوشهر نسبت به ماسه‌ی بابلسر پس از زمان ۲۰۰۰۰ دقیقه به اندازه‌ی دانه‌ها برمی‌گردد. از نظر دانه‌بندی، هم ماسه‌های بابلسر و هم بوشهر ریزدانه به‌شمار می‌روند، اما مطابق استاندارد BS ماسه‌ی بابلسر دارای ذرات ریزتری نسبت به ماسه‌ی بوشهر محسوب می‌شود. بنابراین ماسه‌ای که ذرات آن ریزتر است، لغزش و چرخش کمتری را در حین فرایند خزش تجربه کرده است.

همان‌طور که در شکل‌های (۸) تا (۱۲) مشاهده می‌شود، تمامی نمونه‌ها با گذشت زمان، خزش را تجربه می‌کنند. تغییرات تغییر شکل وابسته به زمان ماسه‌ی اتاوا منظم‌تر است درحالی‌که در سایر نمونه‌ها و در ابتدای آزمایش روند افزایش تغییر شکل‌ها کند بوده و با رسیدن به انتهای آزمایش جهش می‌یابند. قابل ذکر است که افزایش تغییر شکل‌ها در نمونه‌های با ذرات درشت‌تر بیشتر از نمونه‌های با ذرات ریزتر است. مثلا برای ماسه‌های فیروزکوه ۱۶۱ و ۱۷۱ که در آن‌ها ماسه‌ی شماره‌ی ۱۷۱ ریزتر از ۱۶۱ است. هم‌چنین ذراتی که درصد تیز گوشه‌ی بیشتری دارند نیز دارای تغییر شکل‌های بیشتری هستند (مانند ماسه‌های KRSS#2 و KRSS#4).

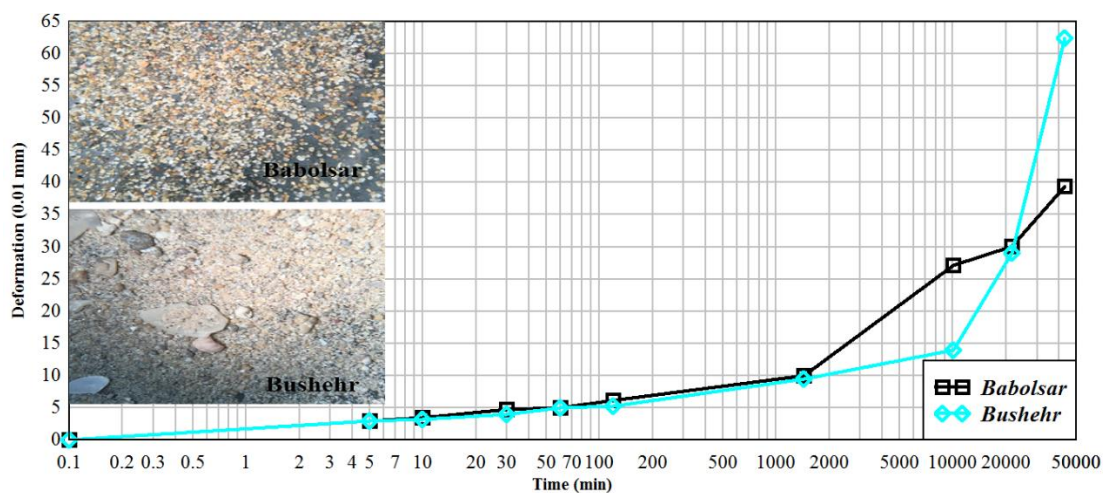
در این مرحله، ۹ مدل ماسه‌ی تعریف‌شده در قسمت‌های قبلی با تراکم نسبی ۶۰٪ و با همان فرایند اشاره‌شده در بخش ۳-۱ ساخته شدند و تنش ثابت ۴۵ کیلوپاسکال به‌عنوان تنش سربار به نمونه‌ها اعمال شد و تا مدت زمان ۳۰ روز میزان تغییر شکل محوری نمونه‌ها ثبت گردید. شکل‌های (۸) تا (۱۲) نتایج مطالعات روی رفتار خزشی ماسه‌های خشک به‌همراه تصاویر ذرات هر کدام زیر میکروسکوپ نوری را به مدت ۳۰ روز (۴۳۲۰۰ دقیقه) نشان می‌دهد. همان‌طور که در این شکل‌ها مشخص است، نمونه‌های KRSS#1 و KRSS#3 دارای ذراتی هستند که نسبتا ماهیتی گرد گوشه دارند و نمونه‌های KRSS#2 و KRSS#4 نیز دارای ذراتی نسبتا تیز گوشه هستند. نمونه‌های KRSS#1 و KRSS#2 دارای یک دانه‌بندی و نمونه‌های KRSS#3 و KRSS#4 هم دارای یک دانه‌بندی هستند. علت تغییر شکل بیشتر ماسه‌ی فیروزکوه ۱۶۱ نسبت به ۱۷۱ را می‌توان به ماهیت دانه‌بندی‌شان نسبت داد. ماسه‌ی ۱۶۱ دارای دانه‌بندی متوسط است، درحالی‌که ماسه‌ی ۱۷۱ ریزدانه محسوب می‌شود (مطابق استاندارد BS (BS ISO14688-1:2002)). علت تغییر شکل‌های بیشتر خزشی نیز همین اندازه ذرات است. از آنجایی که ماسه‌ی ۱۶۱ دارای ذرات درشت‌تری نسبت به ماسه‌ی ۱۷۱ است، لغزش دانه‌ها روی یکدیگر و بازآرایش ذرات در این نوع ماسه بیشتر به‌وقوع



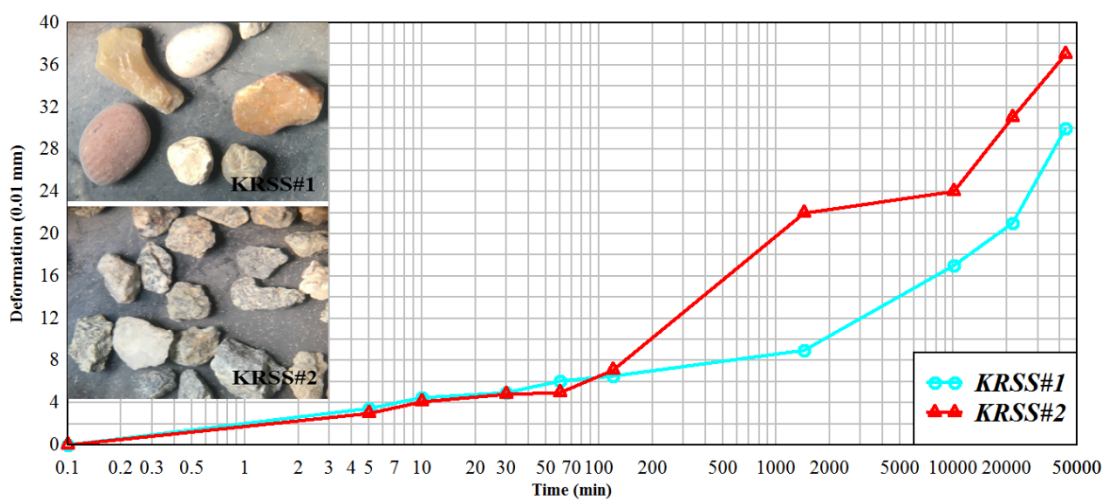
شکل ۸ نمودار تغییر شکل در برابر لگاریتم زمان برای ماسه اتاوا پس از گذشت ۳۰ روز تحت تنش ۴۵ کیلوپاسکال



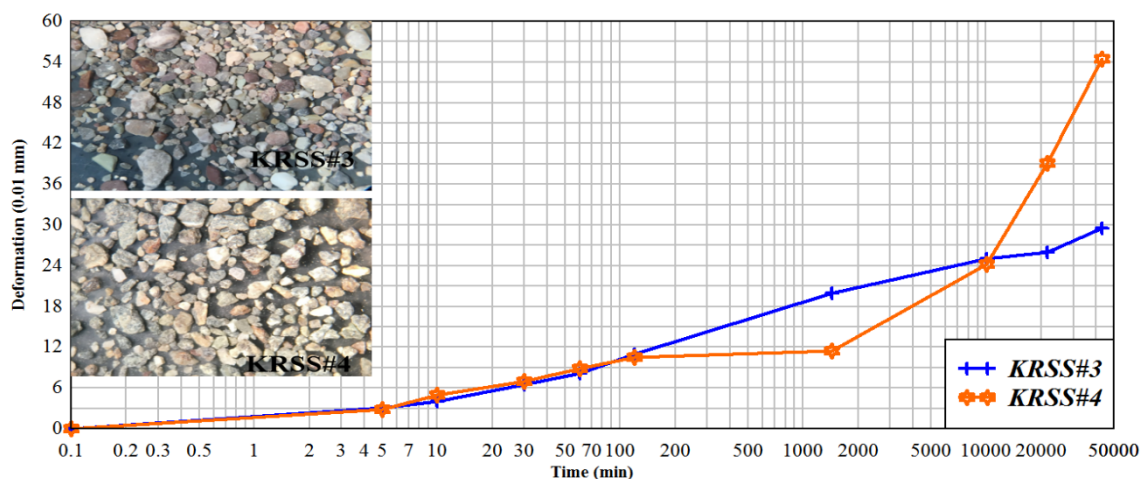
شکل ۹ نمودار تغییرشکل در برابر لگاریتم زمان برای ماسه‌های فیروز کوه پس از گذشت ۳۰ روز تحت تنش ۴۵ کیلوپاسکال



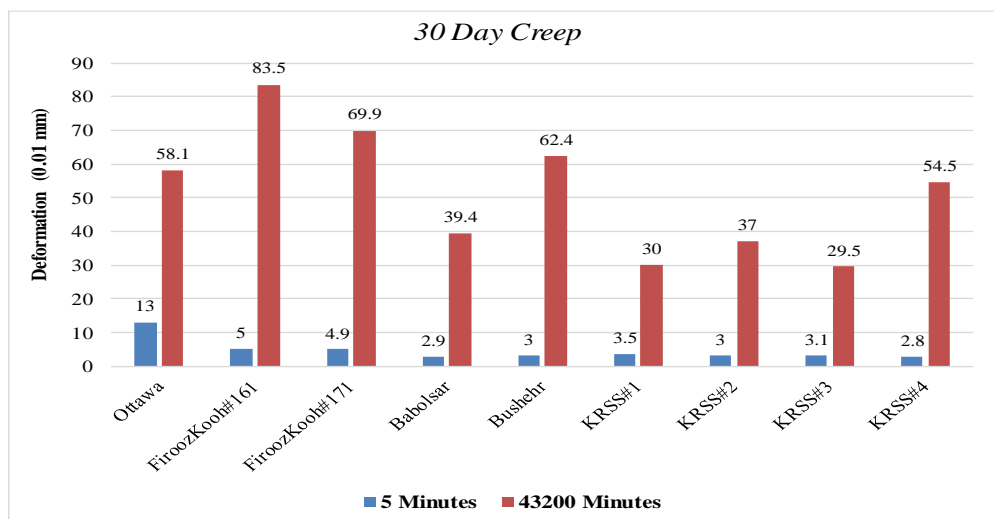
شکل ۱۰ نمودار تغییرشکل در برابر لگاریتم زمان برای ماسه‌های بابلسر و بوشهر پس از گذشت ۳۰ روز تحت تنش ۴۵ کیلوپاسکال



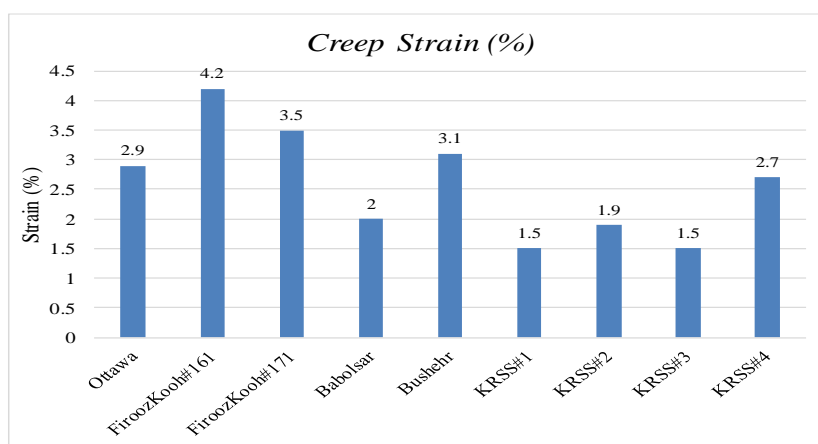
شکل ۱۱ نمودار تغییرشکل در برابر لگاریتم زمان برای ماسه‌های محلی شماره ۱ و ۲ کرمانشاه پس از گذشت ۳۰ روز تحت تنش ۴۵ کیلوپاسکال



شکل ۱۲ نمودار تغییر شکل در برابر لگاریتم زمان برای ماسه‌های محلی شماره ۳ و ۴ کرمانشاه پس از گذشت ۳۰ روز تحت تنش ۴۵ کیلوپاسکال



شکل ۱۳ نمودار مقایسه‌ی تغییر شکل ماسه‌ها در ابتدا و انتهای آزمایش



شکل ۱۴ نمودار کرنش خزشی برای نمونه‌ها در انتهای آزمایش‌های ۳۰ روزه

۳۰ روز را به خود اختصاص دادند.

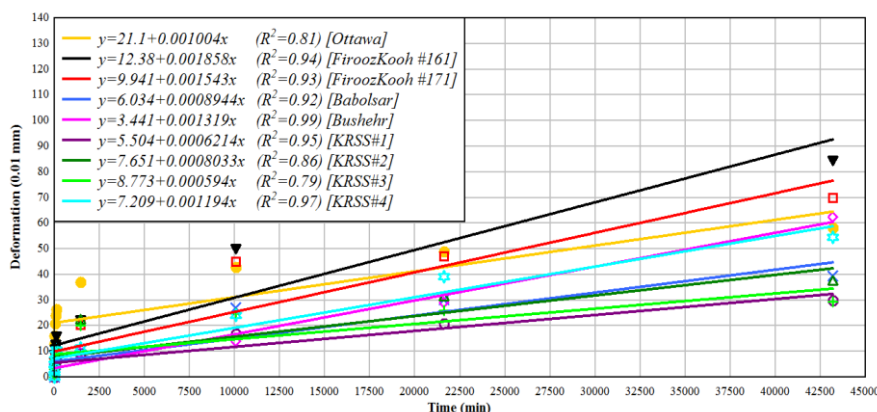
معادلات پیشنهادی برای رفتار خزشی ماسه‌های خشک

در شکل (۱۵) معادلات پیشنهادی درجه‌ی یک برای پیش‌بینی وضعیت تغییر شکل‌های وابسته به زمان برای انواع ماسه‌های آزمایش شده (در بازه‌ی زمانی ۳۰ روز) نشان داده شده‌است. علت انتخاب زمان ۳۰ روز برای این قسمت، اهمیت بازه‌ی زمانی طولانی‌مدت برای تعیین رفتار خزشی بوده‌است. ضرایب هم‌بستگی (R^2) برای هر نمونه در شکل آورده شده‌است. هر اندازه که مقدار این پارامتر به عدد یک نزدیک‌تر باشد، معادله‌ی خط پیشنهادی از دقت بیشتری برخوردار است و برعکس، مقدار کمتر این پارامتر نشان از دقت پایین رابطه دارد. همان‌طور که مشخص است، ماسه‌ی بوشهر با ضریب هم‌بستگی ۰/۹۹، بهترین معادله است که دارای دقت پیش‌بینی بسیار خوبی است و ماسه‌ی محلی شماره‌ی ۳ کرمانشاه با کمترین مقدار (ضریب هم‌بستگی ۰/۷۹) ضعیف‌ترین معادله‌ی پیشنهادی است. به کمک روابط پیشنهادی می‌توان رفتار خزشی ماسه‌های مورد مطالعه را به خوبی ارزیابی کرد. لازم به ذکر است در این روابط، پارامتر x زمان برحسب دقیقه است، که با جایگزینی مدت زمان مورد نظر می‌توان تغییر شکل y را برای ماسه‌های خشک تعیین کرد.

تغییر شکل و خزش در نمونه‌ها

در شکل (۱۳) نمودار تغییر شکل نمونه‌ها در شروع آزمایش و پس از پایان ۳۰ روز به تفکیک هر نوع ماسه نشان داده شده‌است. همان‌طور که در این شکل مشخص است، ماسه‌ی فیروزکوه ۱۶۱ متحمل بیشترین تغییر شکل در فرایند آزمایش شده‌است. هم‌چنین ماسه‌های محلی شماره‌ی ۱ و ۳ کرمانشاه نیز کمترین تغییر شکل را تجربه کرده‌اند. علت این مسئله آن است که این دو نوع ماسه از یک جنس هستند اما دارای دانه‌بندی متفاوتی‌اند. ماسه‌ی محلی شماره‌ی ۱ دارای دانه‌بندی درشت‌تری نسبت به ماسه‌ی محلی شماره‌ی ۳ هست. ماسه‌های شماره‌ی ۱ و ۲ از الک شماره‌ی ۴ عبور کرده و روی الک شماره‌ی ۱۰ مانده‌اند؛ درحالی‌که ماسه‌های شماره‌ی ۳ و ۴ از الک شماره‌ی ۱۰ عبور کرده و روی الک شماره‌ی ۶۰ مانده‌اند. باتوجه به شکل (۱۳) تغییر شکل‌های ماسه‌ی شماره‌ی ۱ کمی بیشتر از ماسه‌ی شماره‌ی ۳ است، که به ماهیت درشت‌تر بودن ذرات آن مربوط است. قابل ذکر است که این دو نوع ماسه طبیعتی گردگوشه دارند. بر همین اساس علت نزدیکی رفتار خزشی‌شان می‌تواند همین موضوع باشد.

در شکل (۱۴) کرنش‌های خزشی به وجود آمده در انتهای آزمایش برای هر نمونه نشان داده شده‌است. ماسه‌ی شماره‌ی ۱۶۱ فیروزکوه با ۴/۲ درصد خزش و ماسه‌های محلی شماره‌ی ۱ و ۳ کرمانشاه با ۱/۵ درصد خزش به ترتیب بیشترین و کمترین نرخ خزش در زمان



شکل ۱۵ معادلات پیشنهادی برای تغییر شکل‌های خزشی به مدت ۳۰ روز و تحت تنش ثابت ۴۵ کیلوپاسکال

بحث و بررسی

در این بخش به بحث و بررسی پیرامون نتایج به دست آمده از آزمایش های انجام شده در مدت زمان ۳۰ روز روی نمونه های ماسه ای خشک پرداخته می شود. از آنجایی که ماسه ها عمدتاً پس از گذشت حداکثر ۵ دقیقه، نشست آبی خود را به اتمام می رسانند، ۴۳۲۰۰ دقیقه (۳۰ روز) مدت زمان طولانی و مناسبی برای بررسی رفتار وابسته به زمان برای این خاک ها محسوب می شود. همان گونه که در بخش های پیشین اشاره شد، مطابق جدول (۲) در می یابیم که کمترین نسبت تخلخل متعلق به ماسه ای اتاوا بوده و KRSS#2 نیز بیشترین نسبت تخلخل را به خود اختصاص داده است. ماسه ای اتاوا برخلاف دیگر نمونه ها، یک روند افزایش تغییر شکل وابسته به زمان منظم تری دارد و از یک الگوی نسبتاً مشخص پیروی می کند. علت این موضوع هم به نوع دانه بندی آن برمی گردد که تمامی ذرات درشت، ریز و متوسط را در خود جای داده است. مقایسه ی بین ماسه های ۱۶۱ و ۱۷۱ فیروزکوه نشان می دهد که شماره ی ۱۶۱ دارای دانه های درشت تری نسبت به ۱۷۱ است. مطابق شکل (۴)، ماسه ی ۱۶۱ تغییر شکل های بیشتری را از خود نشان می دهد (حدوداً ۱۹ درصد کرنش خزشی بیشتر). تنها علت آن هم تفاوت در اندازه ی ذراتشان است. این دو ماسه از یک جنس، کانی و مشخصات ساختاری هستند و فقط در نوع دانه بندی شان اختلاف دارند (ماسه ی ۱۷۱ ریزدانه تر می باشد). هم چنین ماسه ی بابل سر که دارای ریزترین دانه بندی است، در مقایسه با ماسه ی ۱۷۱ فیروزکوه حدوداً ۷۵ درصد خزش کمتری را تجربه کرده است. نکته جالب تر آن است که صرفاً نوع دانه بندی ملاک جامعی برای این مسئله نیست و باید پارامترهای دیگری را نیز در خزش ماسه ها در نظر گرفت. نسبت تخلخل یکی از عوامل بسیار مؤثر در این زمینه است، اما به تنهایی کافی نیست. چرا که مطابق جدول (۲) مشاهده می شود که ماسه های فیروزکوه ۱۶۱ و KRSS#2 و KRSS#4 تقریباً دارای نسبت تخلخل مشابه هستند، اما رفتار خزشی آنها هیچ شباهتی به هم ندارد.

علت اصلی این موضوع نوع شکل ذرات و اندازه شان است، ماسه ی فیروزکوه ریزدانه است ولی دو ماسه ی دیگر دارای اندازه های درشت تری هستند. در این پژوهش ماسه های KRSS#1 و KRSS#2 باهم و ماسه های KRSS#3 و KRSS#4 باهم دارای یک نوع دانه بندی مشخص هستند. ماسه های محلی شماره ی ۱ و ۲ کرمانشاه از الگ شماره ی ۴ عبور کردند و روی الگ شماره ی ۱۰ باقی ماندند و ماسه های محلی شماره ی ۳ و ۴ کرمانشاه از الگ شماره ی ۱۰ عبور کردند و روی الگ شماره ی ۶۰ باقی ماندند.

در شکل های (۱۰) و (۱۱) دیده می شود که ماسه های KRSS#2 و KRSS#4 دارای ذرات تیز گوشه تری نسبت به ماسه های KRSS#1 و KRSS#3 هستند. از مقایسه ی این دو شکل نمایان می شود که در شرایط یکسان از نظر دانه بندی، شکل ذرات عامل تعیین کننده ی رفتار خزشی ماسه های خشک است. ماسه ی KRSS#1 گرد گوشه تر است، در حالی که ماسه ی KRSS#2 تیز گوشه تر می باشد و هر دو مدل ماسه دارای دانه بندی یکسان هستند. نتایج نشان می دهد که ماسه ی KRSS#2 حدود ۲۳ درصد خزش بیشتری را از خود نشان می دهد. چرا که به علت ماهیت تیز گوشه بودنش، نسبت تخلخل بیشتری داشته است. این وضعیت برای ماسه های KRSS#3 و KRSS#4 که دارای یک دانه بندی یکسان هستند نیز تکرار می شود. برای ماسه ی KRSS#4 با نسبت تخلخل بیشتر، کرنش های خزشی در حدود ۸۰ درصد بیشتر از ماسه ی KRSS#3 است. نکته ی قابل توجه این است که هر چند اختلاف نسبت تخلخل این ماسه ها در حدود ۲ برابر است (یعنی تفاضل بین نسبت تخلخل ماسه های KRSS#3 و KRSS#4 و مقایسه ی آن با تفاضل نسبت تخلخل بین ماسه های KRSS#1 و KRSS#2 دو برابر است)، اما اختلاف کرنش خزشی بین این گروه ها حدود ۴ برابر است. به عبارت ساده تر ماسه ی KRSS#4 با میزان تیز گوشه ی بیشتر، نسبت تخلخل بیشتر ولی با دانه بندی مشابه با KRSS#3، دارای ۸۰٪ کرنش های خزشی بیشتری است.

جدول ۳ مقایسه روابط پیشنهادی و روابط ارائه شده برای ماسه‌ها

زمان (دقیقه)	رابطه (۱)	رابطه (۲)	میانگین	در این تحقیق ε_t (%)	رابطه مرجع [8] $\varepsilon_t = \varepsilon_{(t_0)} \left(\frac{t}{t_0}\right)^a$ (%)
۱۰۰	۰/۱۰۱	۰/۰۸۱	۰/۰۹۱	۰/۴۶	۰/۵۲
۱۰۰۰	۰/۱۱۰	۰/۰۹۰	۰/۱۰	۰/۵۰	۰/۶۱
۱۰۰۰۰	۰/۲۰۰	۰/۱۸۰	۰/۱۹	۰/۹۵	۱/۰۳

عوامل به هم وابسته‌اند. به جز ماسه‌های استاندارد که دارای محدوده‌ی وسیع ذرات در توده‌ی خاک هستند، سایر نمونه‌ها به صورت غیرمنظم افزایش تغییرشکل‌های وابسته به زمان را از خود نشان می‌دهند. بر همین اساس پیش‌بینی الگوی خزش ماسه‌های استاندارد نسبتاً ساده‌تر است، اما این مسأله برای ماسه‌های بد دانه‌بندی شده (اعم از نمونه‌های دارای ذرات ریز یا درشت) به راحتی قابل شناسایی نیست. در خاک‌های بد دانه‌بندی شده، هر نمونه با توجه به ویژگی‌های ساختاری خود (تیز یا گردگوشه بودن دانه‌هایش و ریز یا درشت بودن ذراتش) رفتاری منحصر به فرد از خود نشان می‌دهد. مقایسه‌ی شکل ذرات (تیز یا گردگوشه بودن) نشان می‌دهد که در شرایط یکسان از نظر دانه‌بندی، ماسه‌های تیزگوشه خزش بیشتری از خود نشان می‌دهند که می‌توان آن را به شکستگی ذرات تیز در طی خزش نسبت داد. کمترین نرخ کرنش متعلق به ماسه‌ی با دانه‌های درشت و از نوع نسبتاً گردگوشه است (KRSS#1)، درحالی‌که الزاماً دارای بیشترین نسبت تخلخل نیست. این موضوع اهمیت شکل دانه‌ها و اثرشان روی لغزش و چرخش دانه‌ها روی هم را نشان می‌دهد.

۱. ماسه‌های تیزگوشه‌تر خزش بیشتری را نسبت به گردگوشه‌ها از خود نشان می‌دهند (KRSS#2 و KRSS#4 در مقایسه با KRSS#1 و KRSS#3). هم‌چنین ذرات تیزگوشه‌تری که از نظر اندازه‌ی دانه‌ها ریزتر باشند (KRSS#4) در مقایسه با همین شرایط اما با اندازه‌ی ذرات درشت‌تر (KRSS#2) خزش بیشتری را از خود نشان می‌دهند (حدود ۴۲٪ بیشتر).

شکل ذرات در لغزش و بازآرایش مجدد دانه‌ها در زمان تجربه کردن خزش مهم‌ترین عامل در مقدار نهایی تغییرشکل‌های خزشی است. با توجه به معادلات خطی نشان داده شده در شکل (۱۵)، روابط زیر به عنوان میانگین معادلات برای ماسه‌های با دانه‌های درشت (معادله‌ی ۱) و ماسه‌های با دانه‌های ریزتر (معادله‌ی ۲) پیشنهاد می‌گردد:

$$y = 10 + 0.001t \quad (۱)$$

$$y = 8 + 0.001t \quad (۲)$$

که t زمان برحسب دقیقه و y تغییرشکل ماسه برحسب صدم میلی‌متر است.

در جدول (۳) مقایسه‌ای بین نتایج روابط ارائه شده در این پژوهش و نتایج مرجع (۸) انجام شده است که نشان از دقت مناسب روابط ارائه شده در این مقاله است.

نتیجه‌گیری

در این پژوهش رفتار وابسته به زمان ماسه‌های خشک تحت بارهای مختلف و در زمان‌های متفاوت مورد ارزیابی قرار گرفت. ۹ نمونه‌ی مورد مطالعه مجموعاً ۳۴۱ روز تحت آزمایش بودند (نمونه‌های ۲، ۷ و ۳۰ روزه). نتایج آزمایش‌های ادئومتری در شرایط خشک نشان داد که عامل خزش (تغییرشکل تحت تنش ثابت)، لغزش و بازآرایش مجدد دانه‌ها و در نهایت خرد شدن ذرات است. عوامل مؤثری که در لغزش دانه‌ها روی هم نقش دارند عبارتند از شکل ذرات، نسبت تخلخل، اندازه‌ی دانه‌ها و نوع دانه‌بندی. قابل ذکر است که ترکیب پیچیده‌ای از تمامی عوامل ذکر شده، خزش در ماسه‌های خشک را ایجاد می‌کنند، که به سادگی قابل تفکیک نیستند و تمامی

ریزدانه تر بودن، به شرط تیزگوشه تر بودن نیز خزش را بیشتر خواهد کرد (تا ۴۲٪ کرنش خزشی بیشتر).
 ۴. در شرایطی که شکل ذرات یکسان باشد و تنها تفاوت در اندازه‌ی دانه‌ها باشد، توده‌ی با اندازه‌ی ذرات درشت‌تر کرنش‌های خزشی بیشتری را از خود نشان خواهد داد (تا ۲۰٪ کرنش خزشی بیشتر).

سپاس‌گزاری

این پروژه با حمایت مالی مرکز مطالعات و همکاری‌های علمی بین‌المللی وزارت علوم تحقیقات و فناوری به‌شماره‌ی ۱۶۰۰ انجام شده‌است.

۲. مقایسه‌ی ماسه‌های فیروزکوه که هر دو از یک جنس و ساختار هستند و تنها تفاوت در اندازه‌ی دانه‌هایشان است، نشان می‌دهد که ماسه‌ی با ذرات درشت‌تر یعنی شماره‌ی ۱۶۱، خزش بیشتری نسبت به شماره‌ی ۱۷۱ خواهد داشت. این نتایج، وابستگی اندازه‌ی ذرات و شکل دانه‌ها را در مقدار لغزش و چرخش ماسه‌ها روی هم نمایان می‌سازد.

۳. یافته‌های این پژوهش نشان می‌دهد که شکل ذرات و اندازه‌ی دانه‌ها مهم‌ترین پارامترهای اثرگذار در رفتار وابسته به زمان ماسه‌های خشک هستند. به‌طوری‌که تیزگوشه بودن، منجر به افزایش خزش خواهد شد و

مراجع

- 1- Augstesen, A., Liingaard, M., and Lade, P.V., "Evaluation of Time-dependent Behavior of Soils", *International Journal of Geomechanics*, Vol. 4, No. 3, pp. 137-156, (2004).
- 2- Zhang, Y., Xue, Y.Q., Wu, J.C., and Shi, X.Q., "Creep Model of Saturated Sands in Oedometer Tests", *GeoShanghai International Conference, Geotechnical Special Publication*, June 6-8, pp. 1-8, (2006).
- 3- Murayama, S., Michihiro, K., and Sakagami, T., "Creep Characteristics of Sand", *Soil and Foundations*, Vol. 24, No. 2, pp. 1-15, (1984).
- 4- Murayama, S., "Formulation of Stress-strain-time Behaviors of Soils under Deviatoric Stress Condition", *Soil and Foundations*, Vol. 23, No. 2, pp. 43-57, (1983).
- 5- Lade, P.V., and Liu, C.T., "Experimental Study of Drained Creep Behavior of Sand", *Journal of Engineering Mechanics*, Vol. 124, No. 8, pp. 912-920, (1998).
- 6- Wang, Z., and Wong, R.C.K., "Strain-dependent Creep Behavior of Athabasca Oil Sand in Triaxial Compression", *International Journal of Geomechanics*, Vol. 17, No. 1, pp. 1-9, (2017).
- 7- Wang, F., Miao, L., and Lv, W., "Experimental Study of the Creep Behavior of the Yangtze River Sand", *GeoFlorida, Advances in Analysis, Modeling & Design, GSP 199*, pp. 777-782, (2010).
- 8- Nian, T., Yu, P., Diao, M., Lu, M., and Liu, C., "Shear-creep Behavior of Dredger Fill Silty Sands under Different Normal Pressure", *Proceedings of Civil Engineering and Urban Planning, CEUP 2012*, pp. 558-563, (2012).
- 9- Lade, P.V., "Creep Effects on Static and Cyclic Instability of Granular Soils", *Journal of Geotechnical Engineering*, Vol. 120, No. 2, pp. 404-419, (1994).
- 10- Yin, J., Soleimanbeigi, Al., Likos, W.J., and Edil, T.B., "Creep Behavior of Compacted Waste Foundry Sands for Use as Roadway Embankment Fill", *Journal of Geotechnical and*

- Geoenvironmental Engineering*, Vol. 144, No. 2, pp. 1-10, (2018).
- 11- Park, K.H., Jung, Y.H., and Chung, C.K., "Evolution of Stiffness Anisotropy During Creep of Engineered Silty Sand in South Korea", *KSCE Journal of Civil Engineering*, Vol. 21, No. 6, pp. 2168-2176, (2017).
- 12- Yang, Y., Lai, Y., and Chang, X., "Experimental and Theoretical Studies on the Creep Behavior of Warm Ice-rich Frozen Sand", *Gold Region Science and Technology*, Vol. 63, pp. 61-67, (2010).
- 13- Brzesowsky, R.H., Hangx, S.J.T., Brantut, N., and Spiers, C., "Compaction Creep of Sands due to Time-dependent Grain Failure: Effects of Chemical Environmental, Applied Stress, and Grain Size", *Journal of Geophysical Research: Solid Earth*, Vol. 119, No. 10, pp. 7521- 7541, (2014).
- 14- Park, K.H, Chung, C.K., and Jung, Y.H., "State-dependent Volume Change During Creep in Engineered Silty Sand", *Journal of Geotechnical and Geoenvironmental Engineering*, Vol. 145, No. 6, pp. 1-10, (2019).
- ۱۵- نگهدار، علیرضا، یادگاری، شیما، هو شمندی، سیاب، «بررسی رفتار خزشی خاک رس در شرایط آزمایشگاهی»، نشریه مهندسی عمران فردوسی، دوره ۲۸، شماره ۱، صص ۱-۱۲، (۱۳۹۵).
- 16- Lade, P.V., Liggio, C.D., and Nam, J., "Strain Rate, Creep and Stress Drop-creep Experiments on Crushed Coral Sand", *Journal of Geotechnical and Geoenvironmental Engineering*, Vol. 135, No. 7, pp. 941-953, (2009).
- 17- Kiyota, T., Tatsuoka, F., and Yamamuro, J., "Drained and Undrained Creep Characteristics of Loose Saturated Sand", *Proceedings of Site Characterization and Modeling, GSP 138*, (2005).
- 18- Sawicki, A., Miereczynski, J., and Swidzinski, W., "Apparent Creep of Saturated Sand Caused by Intrinsic Cyclic Loading", *Journal of Geotechnical and Geoenvironmental Engineering*, Vol. 140, No. 2, pp. 1-3, (2014).
- 19- Enomoto, T., Koseki, J., Tatsuoka, F., and Sato, T., "Creep Failure of Sands Exhibiting Various Viscosity Types and its Simulation", *Soils and Foundations*, Vol. 55, No. 6, pp. 1346-1363, (2015).
- 20- Lade, P.V., and Karimpour, H., "Stress Drop Effects in Time Dependent Behavior of Quartz Sand", *International Journal of Solids and Structures*, Vol. 87, No. 1, pp. 167-182, (2016).
- 21- Prisco, C., Imposimato, S., and Vardoulakis, I., "Mechanical Modeling of Drained Creep Triaxial Tests on Loose Sand", *Geotechnique*, Vol. 50, No. 1, pp. 73-82, (2000).
- 22- Zhu, Z., Luo, F., Zhang, Y., Zhang, D., and He, J., "A Creep Model for Frozen Sand of Qinghai-Tibet Based on Nishihara Model", *Cold Region Science and Technology*, Vol. 167, (2019).
- 23- Zhang, Z., and Wang, Y.H., "DEM Modeling of Aging or Creep in Sand Based on the Effects of Microfracturing of Asperities and Evolution of Microstructural Anisotropy during Triaxial Creep", *Acta Geotechnica*, Vol. 11, pp. 1303-1320, (2016).

- 24- Liu, S., Wang, J., and Kwok, C.Y., "DEM Simulation of Creep in One Dimensional Compression of Crushable Sand", *Journal of Geotechnical and Geoenvironmental Engineering*, Vol. 145, No. 10, pp. 1-10, (2019).
- 25- Tanaka, Y., and Tanimoto, K., "Time Dependent Deformation of Sand as Measured by Acoustic Emission", *In Proceedings International conference on rheology and soil mechanics*, Elsevier Science, London, pp. 182-193, (1988).
- 26- Mejia, C.A., Vaid, Y.P., and Negussey, D., "Time Dependent Behavior of Sand", *In Proceedings International conference on rheology and soil mechanics, Coventry, England.* (1988).
- 27- McDowell, G.R., "Micromechanics of Creep of Granular Materials", *Geotechnique*, Vol. 53, No. 10, pp. 915-916, (2003).
- ۲۸- حاجی عزیز، محمد، نصیری، مسعود، مظاهری، احمد رضا، «بررسی رفتار ماسه‌های آلوده به نفت خام در آزمایش CBR»، نشریه مهندسی عمران امیرکبیر، دوره ۵۳، شماره ۷، صص ۱-۱۷، (۱۴۰۰).
- 29- Porcino, D., Caridi, G., Malara, M., and Morabito, E., "An Automated Control System for Undrained Monotonic and Cyclic Simple Shear Tests", *In Proceedings GeoCongress 2006*, (2006).
- 30- Khosravi, E., Ghasemzadeh, H., Sabour, M.R., and Yazdani, H., "Geotechnical Properties of Gas Oil-contaminated Kaolinite", *Engineering Geology*, Vol. 166, pp. 11-16, (2013).
- 31- Porcino, D., Marciano V., and Granata, R., "Cyclic Liquefaction Behavior of a Moderately Cemented Grouted Sand under Repeated Loading", *Soil Dynamics and Earthquake Engineering*, Vol. 79, pp. 36-46, (2015).
- 32- Monkul, M. M., Gultekin, C., Gulver, M., Akin, O., and Eseller-Bayat, E., "Estimation of Liquefaction Potential from Dry and Saturated Sandy Soils under Drained Constant Volume Cyclic Simple Shear Loading", *Soil Dynamic and Earthquake Foundation*, Vol. 75, pp. 27-36, (2015).

